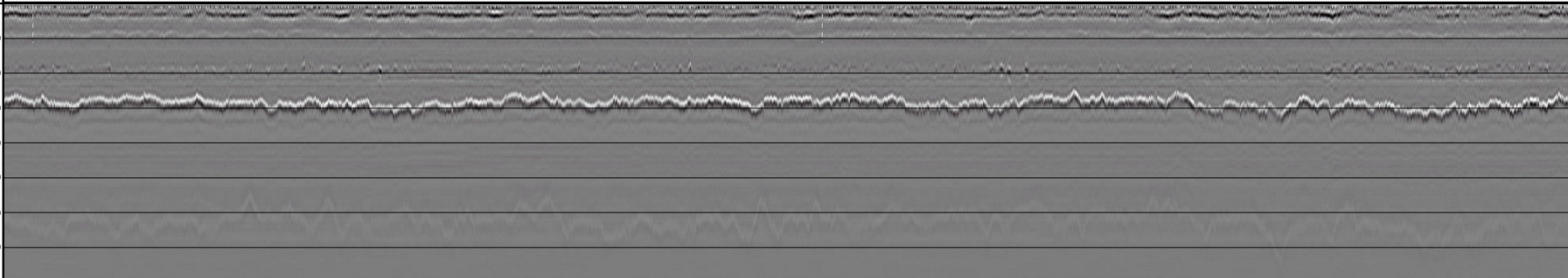
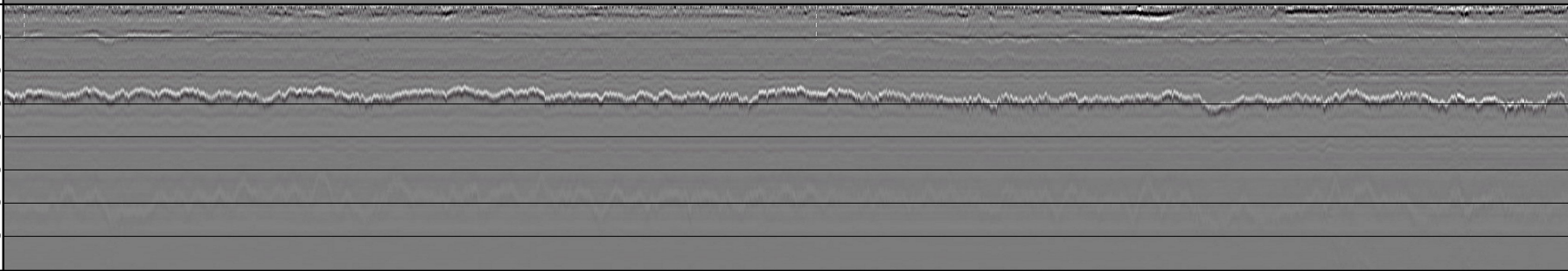
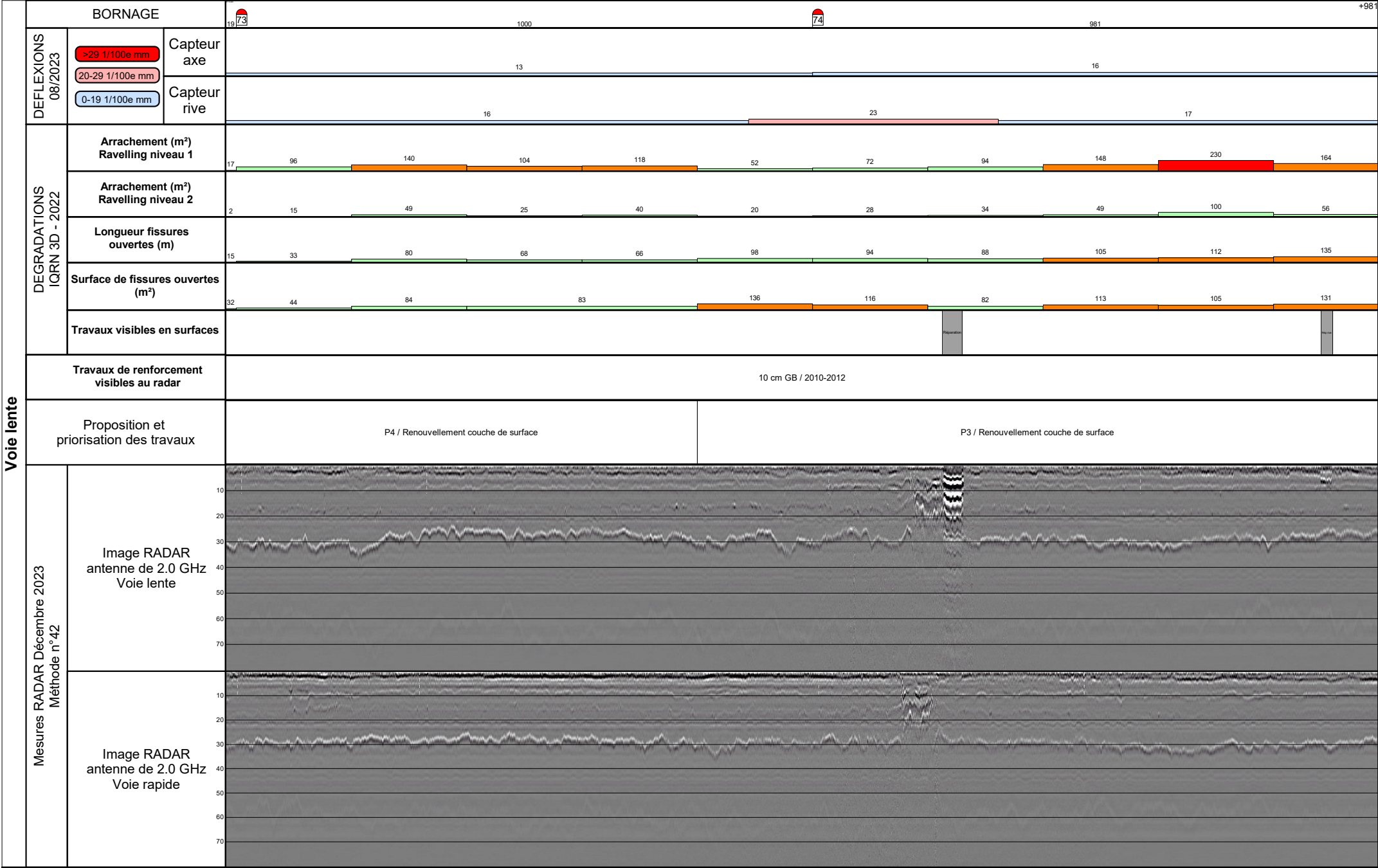


Voie lente	BORNAGE			<div><div><div>19</div><div>69</div></div><div>1000</div><div><div>70</div><div>981</div><div>+981</div></div></div>									
	DEFLEXIONS 08/2023	<div><div>>29 1/100e mm</div><div>20-29 1/100e mm</div><div>0-19 1/100e mm</div></div>	Capteur axe	<div><div>15</div><div>16</div><div>14</div></div>									
			Capteur rive	<div><div>18</div><div>16</div></div>									
	DEGRADATIONS IQRN 3D - 2022	Arrachement (m²) Ravelling niveau 1		<div><div>235</div><div>181</div><div>294</div><div>299</div><div>282</div><div>278</div><div>324</div><div>51</div><div>122</div><div>66</div><div>68</div></div>									
		Arrachement (m²) Ravelling niveau 2		<div><div>248</div><div>419</div><div>239</div><div>251</div><div>101</div><div>164</div><div>56</div><div>14</div><div>7</div><div>19</div></div>									
		Longueur fissures ouvertes (m)		<div><div>74</div><div>128</div><div>99</div><div>90</div><div>74</div><div>56</div><div>109</div><div>106</div><div>88</div><div>40</div><div>56</div></div>									
		Surface de fissures ouvertes (m²)		<div><div>75</div><div>120</div><div>117</div><div>106</div><div>72</div><div>65</div><div>95</div><div>99</div><div>93</div><div>43</div><div>63</div></div>									
		Travaux visibles en surfaces		<div><div></div><div></div></div>									
	Travaux de renforcement visibles au radar			<div><div>10 cm GB / 2010-2012</div></div>									
Proposition et priorisation des travaux			<div><div>P2 / Renouvellement couche de surface</div><div>P4 / Renouvellement couche de surface</div></div>										
Mesures RADAR Décembre 2023 Méthode n°42	Image RADAR antenne de 2.0 GHz Voie lente		<div><div>10</div><div>20</div><div>30</div><div>40</div><div>50</div><div>60</div><div>70</div></div> <div><div></div></div>										
	Image RADAR antenne de 2.0 GHz Voie rapide		<div><div>10</div><div>20</div><div>30</div><div>40</div><div>50</div><div>60</div><div>70</div></div> <div><div></div></div>										

Voie lente	BORNAGE			<div><div><div>19</div><div>71</div></div><div>1000</div><div><div>72</div><div>981</div></div><div>+981</div></div>											
	DEFLEXIONS 08/2023	<div>>29 1/100e mm</div>	Capteur axe	<div>14</div> <div>13</div>											
		<div>20-29 1/100e mm</div>													
		<div>0-19 1/100e mm</div>													
	DEGRADATIONS IQRN 3D - 2022	Arrachement (m²) Ravelling niveau 1		<div><div>68</div><div>43</div><div>81</div><div>57</div><div>49</div><div>17</div><div>36</div><div>13</div><div>36</div><div>29</div><div>17</div></div>											
		Arrachement (m²) Ravelling niveau 2		<div><div>19</div><div>2</div><div>4</div><div>19</div><div>8</div><div>1</div><div>6</div><div>3</div><div>2</div></div>											
		Longueur fissures ouvertes (m)		<div><div>56</div><div>54</div><div>40</div><div>32</div><div>30</div><div>20</div><div>54</div><div>21</div><div>45</div><div>14</div><div>15</div></div>											
		Surface de fissures ouvertes (m²)		<div><div>63</div><div>65</div><div>48</div><div>44</div><div>46</div><div>25</div><div>59</div><div>26</div><div>58</div><div>19</div><div>32</div></div>											
		Travaux visibles en surfaces													
		Travaux de renforcement visibles au radar		<div>10 cm GB / 2010-2012</div>											
Proposition et priorisation des travaux		<div>P4 / Renouvellement couche de surface</div>													
Mesures RADAR Décembre 2023 Méthode n°42	Image RADAR antenne de 2.0 GHz Voie lente		<div><div>10</div><div>20</div><div>30</div><div>40</div><div>50</div><div>60</div><div>70</div></div> 												
	Image RADAR antenne de 2.0 GHz Voie rapide		<div><div>10</div><div>20</div><div>30</div><div>40</div><div>50</div><div>60</div><div>70</div></div> 												



Voie lente	BORNAGE			<div><div><div><div></div><div>75</div></div><div>1000</div><div><div></div><div>76</div></div><div>981</div><div>+981</div></div></div>									
	DEFLEXIONS 08/2023	<div><div>>29 1/100e mm</div><div>20-29 1/100e mm</div><div>0-19 1/100e mm</div></div>	Capteur axe	<div><div>16</div><div>14</div><div>15</div></div>									
			Capteur rive	<div><div>17</div><div>15</div></div>									
	DEGRADATIONS IQRN 3D - 2022	Arrachement (m²) Ravelling niveau 1		<div><div>164</div><div>242</div><div>278</div><div>255</div><div>273</div><div>302</div><div>271</div><div>288</div><div>281</div><div>297</div><div>361</div></div>									
		Arrachement (m²) Ravelling niveau 2		<div><div>56</div><div>122</div><div>182</div><div>124</div><div>302</div><div>150</div><div>84</div><div>86</div><div>176</div><div>84</div><div>133</div></div>									
		Longueur fissures ouvertes (m)		<div><div>135</div><div>88</div><div>93</div><div>64</div><div>71</div><div>99</div><div>68</div><div>72</div><div>90</div><div>78</div><div>70</div></div>									
		Surface de fissures ouvertes (m²)		<div><div>131</div><div>88</div><div>92</div><div>57</div><div>72</div><div>100</div><div>65</div><div>66</div><div>84</div><div>81</div><div>73</div></div>									
		Travaux visibles en surfaces		<div><div></div><div></div><div></div><div></div><div></div><div></div><div></div><div></div><div></div><div></div><div></div></div>									
	Travaux de renforcement visibles au radar		<div>10 cm GB / 2010-2012</div>										
Proposition et priorisation des travaux		<div>P3 / Renouvellement couche de surface</div>											
Mesures RADAR Décembre 2023 Méthode n°42	Image RADAR antenne de 2.0 GHz Voie lente		<div><div>10</div><div>20</div><div>30</div><div>40</div><div>50</div><div>60</div><div>70</div></div> <div></div>										
	Image RADAR antenne de 2.0 GHz Voie rapide		<div><div>10</div><div>20</div><div>30</div><div>40</div><div>50</div><div>60</div><div>70</div></div> <div></div>										

Voie lente	BORNAGE			<div><div><div>19</div><div>77</div></div><div>1000</div><div><div>78</div><div>981</div></div><div>+981</div></div>									
	DEFLEXIONS 08/2023	<div><div>>29 1/100e mm</div><div>20-29 1/100e mm</div><div>0-19 1/100e mm</div></div>	Capteur axe	<div>15</div>									
			Capteur rive	<div>161917</div>									
	DEGRADATIONS IQRN 3D - 2022	Arrachement (m²) Ravelling niveau 1		<div><div>361291240295298180329280291313308</div></div>									
		Arrachement (m²) Ravelling niveau 2		<div><div>13325330515919442124110274137200</div></div>									
		Longueur fissures ouvertes (m)		<div><div>7011190120644121581298732</div></div>									
		Surface de fissures ouvertes (m²)		<div><div>7312191114664133601328431</div></div>									
		Travaux visibles en surfaces											
	Travaux de renforcement visibles au radar			<div>10 cm GB / 2010-2012</div>									
Proposition et priorisation des travaux			<div>P3 / Renouvellement couche de surface</div>										
Mesures RADAR Décembre 2023 Méthode n°42	Image RADAR antenne de 2.0 GHz Voie lente		<div><div>10203040506070</div><div></div></div>										
	Image RADAR antenne de 2.0 GHz Voie rapide		<div><div>10203040506070</div><div></div></div>										

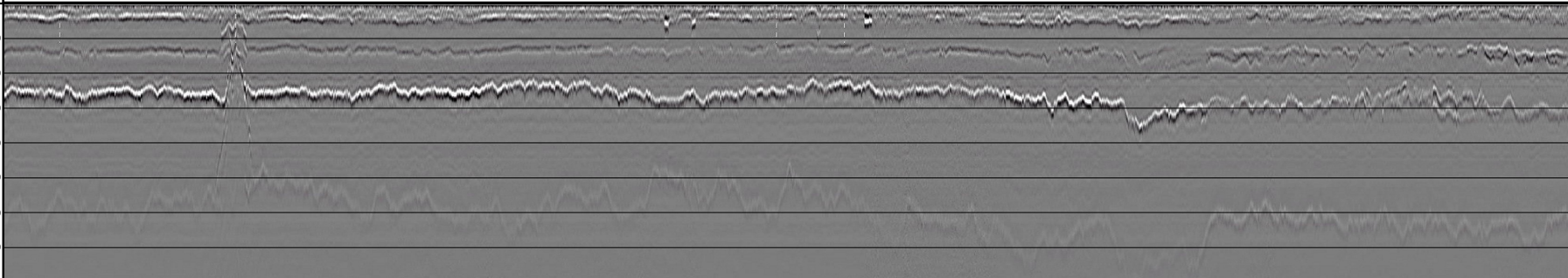
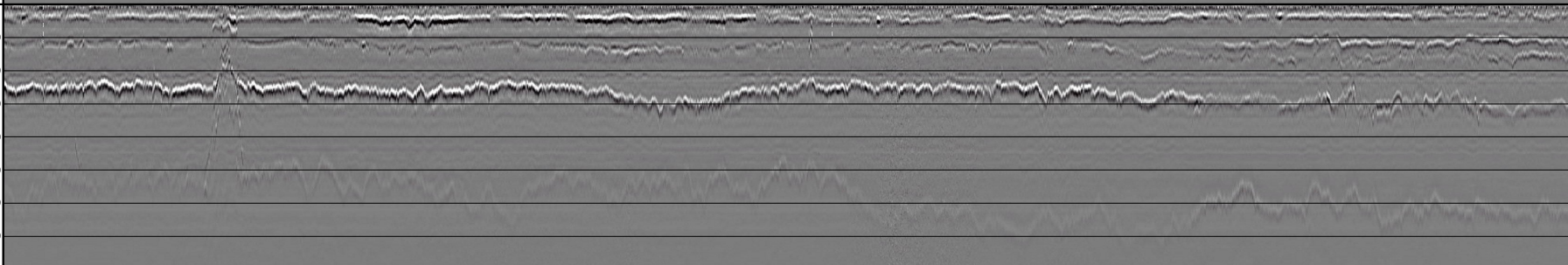
Voie lente	BORNAGE			<div><div><div><div></div><div>1979</div></div><div>1000</div><div><div><div></div><div>80</div></div><div>981</div><div>+981</div></div></div></div>											
	DEFLEXIONS 08/2023	<div>>29 1/100e mm</div>	Capteur axe	15											
		<div>20-29 1/100e mm</div>													
		<div>0-19 1/100e mm</div>		17											
	DEGRADATIONS IQRN 3D - 2022	Arrachement (m²) Ravelling niveau 1		<div><div>308</div><div>271</div><div>311</div><div>240</div><div>287</div><div>268</div><div>267</div><div>223</div><div>283</div><div>185</div><div>291</div></div>											
		Arrachement (m²) Ravelling niveau 2		<div><div>200</div><div>116</div><div>220</div><div>373</div><div>142</div><div>94</div><div>123</div><div>134</div><div>110</div><div>61</div><div>131</div></div>											
		Longueur fissures ouvertes (m)		<div><div>32</div><div>69</div><div>122</div><div>261</div><div>57</div><div>66</div><div>131</div><div>79</div><div>43</div><div>164</div><div>190</div></div>											
		Surface de fissures ouvertes (m²)		<div><div>31</div><div>70</div><div>104</div><div>249</div><div>52</div><div>65</div><div>126</div><div>78</div><div>40</div><div>144</div><div>176</div></div>											
		Travaux visibles en surfaces													
		Travaux de renforcement visibles au radar		10 cm GB / 2010-2012											
Proposition et priorisation des travaux		P3 / Renouvellement couche de surface										P1 / Renouvellement couche de surface			
Mesures RADAR Décembre 2023 Méthode n°42	Image RADAR antenne de 2.0 GHz Voie lente		<div><div>10</div><div>20</div><div>30</div><div>40</div><div>50</div><div>60</div><div>70</div></div>												
	Image RADAR antenne de 2.0 GHz Voie rapide		<div><div>10</div><div>20</div><div>30</div><div>40</div><div>50</div><div>60</div><div>70</div></div>												

Voie lente	BORNAGE		<div><div></div><div></div></div> <div>1981100082981+981</div>									
	DEFLEXIONS 08/2023											
		>29 1/100e mm	Capteur axe									
		20-29 1/100e mm	15									
		0-19 1/100e mm	Capteur rive									
			17									
	DEGRADATIONS IQRN 3D - 2022	Arrachement (m²) Ravelling niveau 1	<div><div>29125924020314976235302222189232</div></div>									
		Arrachement (m²) Ravelling niveau 2	<div><div>1312513774012189156155405427308</div></div>									
		Longueur fissures ouvertes (m)	<div><div>190361388345257127248264482437263</div></div>									
		Surface de fissures ouvertes (m²)	<div><div>176403361337230113228213647499253</div></div>									
		Travaux visibles en surfaces										
	Travaux de renforcement visibles au radar		10 cm GB / 2010-2012									
	Proposition et priorisation des travaux		P1 / Renouvellement couche de surface									
	Mesures RADAR Décembre 2023 Méthode n°42	Image RADAR antenne de 2.0 GHz Voie lente	<div><div>10203040506070</div><div></div></div>									
		Image RADAR antenne de 2.0 GHz Voie rapide	<div><div>10203040506070</div><div></div></div>									

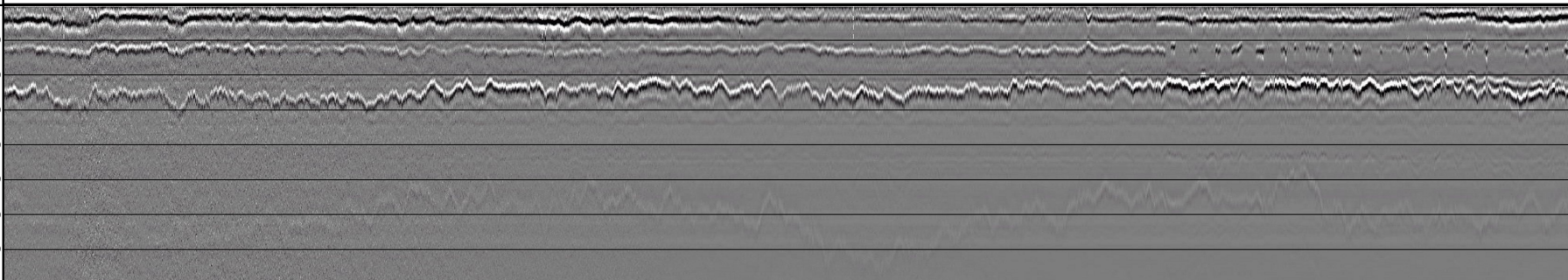
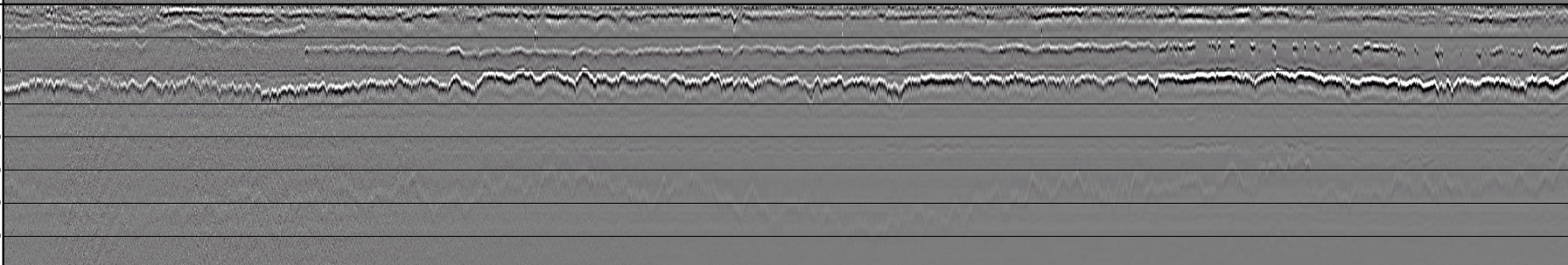
Voie lente	BORNAGE		<div><div><div>19</div><div>83</div></div><div><div>1000</div><div>84</div></div><div><div>981</div><div>+98</div></div></div>	
	DEFLEXIONS 08/2023	<div><div>>29 1/100e mm</div><div>20-29 1/100e mm</div><div>0-19 1/100e mm</div></div>	Capteur axe	<div><div>15</div><div>19</div><div>18</div><div>16</div></div>
			Capteur rive	<div><div>17</div><div>23</div><div>18</div><div>21</div></div>
	DEGRADATIONS IQRN 3D - 2022	Arrachement (m²) Ravelling niveau 1		<div><div>232</div><div>189</div><div>224</div><div>73</div></div>
		Arrachement (m²) Ravelling niveau 2		<div><div>308</div><div>413</div><div>387</div><div>76</div></div>
		Longueur fissures ouvertes (m)		<div><div>263</div><div>287</div><div>371</div><div>114</div></div>
		Surface de fissures ouvertes (m²)		<div><div>253</div><div>244</div><div>360</div><div>132</div><div>4</div><div>3</div><div>2</div></div>
		Travaux visibles en surfaces		<div><div>travaux 2020</div></div>
	Travaux de renforcement visibles au radar		<div><div>10 cm GB / 2010-2012</div><div>8 cm GB sur VL et VR / 2005</div></div>	
Proposition et priorisation des travaux		<div><div>P1 / Renouvellement couche de surface</div><div>RAS / RAS travaux récents</div></div>		
Mesures RADAR Décembre 2023 Méthode n°42	Image RADAR antenne de 2.0 GHz Voie lente		<div><div>10</div><div>20</div><div>30</div><div>40</div><div>50</div><div>60</div><div>70</div></div>	
	Image RADAR antenne de 2.0 GHz Voie rapide		<div><div>10</div><div>20</div><div>30</div><div>40</div><div>50</div><div>60</div><div>70</div></div>	

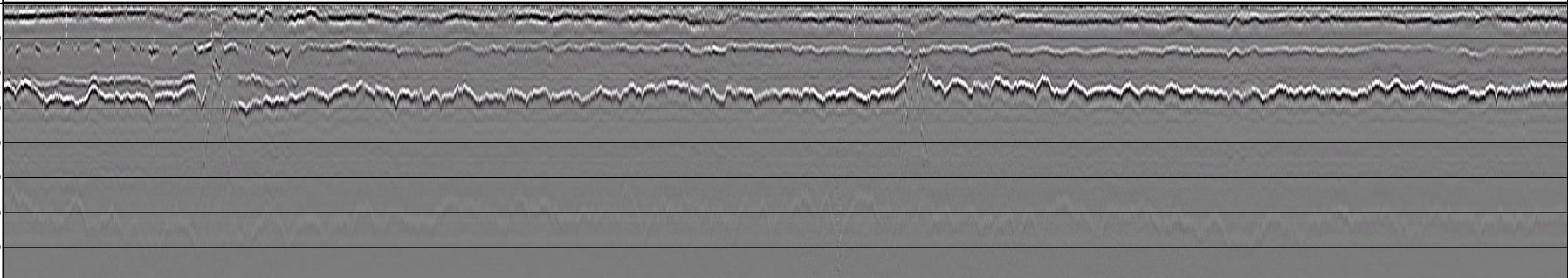
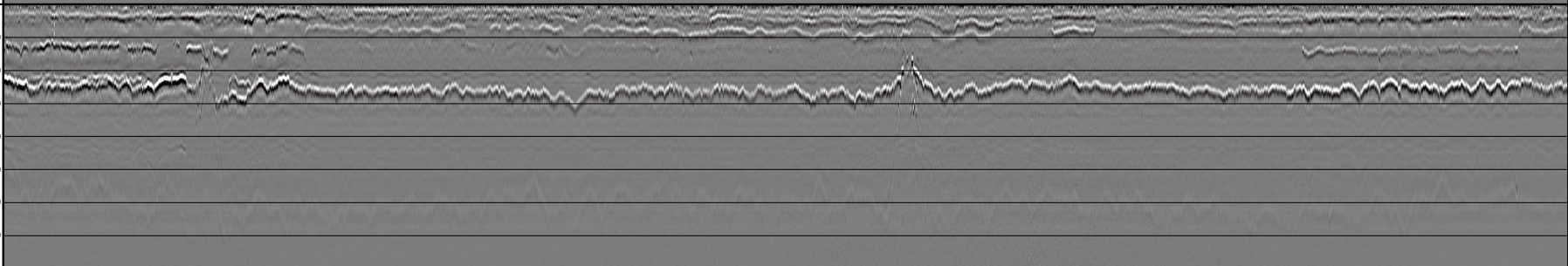
Voie lente	BORNAGE		<div><div><div>19</div><div>85</div></div><div>1000</div><div><div>86</div><div>981</div></div><div>+981</div></div>										
	DEFLEXIONS 08/2023	<div>>29 1/100e mm</div>	Capteur axe										
		<div>20-29 1/100e mm</div>		16									
		<div>0-19 1/100e mm</div>											
	DEGRADATIONS IQRN 3D - 2022		Capteur rive										
				<div><div>21</div><div>23</div><div>18</div><div>21</div></div>									
			Arrachement (m²) Ravelling niveau 1										
			Arrachement (m²) Ravelling niveau 2										
			Longueur fissures ouvertes (m)	<div><div>2</div><div>6</div><div>3</div></div>									
			Surface de fissures ouvertes (m²)	<div><div>2</div><div>3</div><div>5</div><div>8</div><div>5</div><div>3</div></div>									
	Travaux visibles en surfaces	travaux 2020											
	Travaux de renforcement visibles au radar		8 cm GB sur VL et VR / 2005										
	Proposition et priorisation des travaux		RAS / RAS travaux récents										
Mesures RADAR Décembre 2023 Méthode n°42	Image RADAR antenne de 2.0 GHz Voie lente	<div><div>10</div><div>20</div><div>30</div><div>40</div><div>50</div><div>60</div><div>70</div></div>											
		Image RADAR antenne de 2.0 GHz Voie rapide	<div><div>10</div><div>20</div><div>30</div><div>40</div><div>50</div><div>60</div><div>70</div></div>										

Voie lente	BORNAGE		<div><div><div>19</div><div>87</div></div><div>1000</div><div><div>88</div><div>981</div></div><div>+981</div></div>										
	DEFLEXIONS 08/2023		Capteur axe										
		<div>>29 1/100e mm</div>		16									15
		<div>20-29 1/100e mm</div>											
		<div>0-19 1/100e mm</div>	Capteur rive										
	DEGRADATIONS IQRN 3D - 2022	Arrachement (m²) Ravelling niveau 1											
		Arrachement (m²) Ravelling niveau 2											
		Longueur fissures ouvertes (m)											
		Surface de fissures ouvertes (m²)											
		Travaux visibles en surfaces		<div>353453</div>									
Travaux de renforcement visibles au radar		<div>8 cm GB sur VL et VR / 2005</div>											
Proposition et priorisation des travaux		<div>RAS / RAS travaux récents</div>											
Mesures RADAR Décembre 2023 Méthode n°42	Image RADAR antenne de 2.0 GHz Voie lente		<div><div>10</div><div>20</div><div>30</div><div>40</div><div>50</div><div>60</div><div>70</div></div>										
	Image RADAR antenne de 2.0 GHz Voie rapide		<div><div>10</div><div>20</div><div>30</div><div>40</div><div>50</div><div>60</div><div>70</div></div>										


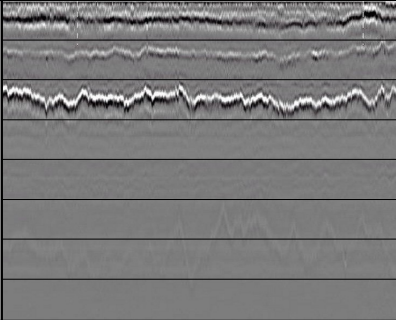
Voie lente	BORNAGE		<div><div>RT 88+961</div><div><div>39</div><div>89</div><div>1000</div><div>90</div><div>961</div><div>+961</div></div></div>										
	DEFLEXIONS 08/2023	<div><div>>29 1/100e mm</div><div>20-29 1/100e mm</div><div>0-19 1/100e mm</div></div>	Capteur axe	<div>151315</div>									
			Capteur rive	<div>162314</div>									
	DEGRADATIONS IQRN 3D - 2022	Arrachement (m²) Ravelling niveau 1											
		Arrachement (m²) Ravelling niveau 2											
		Longueur fissures ouvertes (m)		<div>153</div>									
		Surface de fissures ouvertes (m²)		<div>3512372312</div>									
		Travaux visibles en surfaces		travaux 2020									
	Travaux de renforcement visibles au radar		<div>8 cm GB sur VL et VR / 2005</div> <div>8 cm GB sur VL et VR mais double interface à -15 cm / 2005</div>										
Proposition et priorisation des travaux		RAS / RAS travaux récents											
Mesures RADAR Décembre 2023 Méthode n°42	Image RADAR antenne de 2.0 GHz Voie lente		<div><div>10203040506070</div></div>										
	Image RADAR antenne de 2.0 GHz Voie rapide		<div><div>10203040506070</div></div>										

Voie lente	BORNAGE		<div><div>91</div><div>92</div><div>+961</div></div>				
	DEFLEXIONS 08/2023						
		<div>>29 1/100e mm</div>	15				
		<div>20-29 1/100e mm</div>					
		<div>0-19 1/100e mm</div>					
	DEGRADATIONS IQRN 3D - 2022	Capteur axe					
		Capteur rive					
		Arrachement (m²) Ravelling niveau 1					
		Arrachement (m²) Ravelling niveau 2					
		Longueur fissures ouvertes (m)					
	Travaux de renforcement visibles au radar	8 cm GB sur VL et VR mais double interface à ~15 cm / 2005	purge 22 cm sur VL et VR / 2007	8 cm GB / 2007	8 cm GB sur VL et VR / 2007	8 cm GB / 2007	
		2	6	7	3	2	4
		1	6	7	3	2	4
		1	6	7	3	2	4
		1	6	7	3	2	4
	Proposition et priorisation des travaux		travaux 2020				
	Proposition et priorisation des travaux		RAS / RAS travaux récents				
	Mesures RADAR Décembre 2023 Méthode n°42	Image RADAR antenne de 2.0 GHz Voie lente					
		Image RADAR antenne de 2.0 GHz Voie rapide					

Voie lente	BORNAGE		PR 92+961										+941		
	DEFLEXIONS 08/2023		59	93	1000		94	941							
		>29 1/100e mm	Capteur axe												18
		20-29 1/100e mm		15											
	0-19 1/100e mm	Capteur rive													
			18											20	19
	DEGRADATIONS IQRN 3D - 2022	Arrachement (m²) Ravelling niveau 1													2
		Arrachement (m²) Ravelling niveau 2													1
		Longueur fissures ouvertes (m)													
		Surface de fissures ouvertes (m²)		1	1	5	1	2							
		4	2	6	8	3	4	3							
Travaux visibles en surfaces		travaux 2020													
Travaux de renforcement visibles au radar		8 cm GB / 2007			8 cm GB sur VL et VR / 2007					purge 20 cm sur VL et VR / 2007					
Proposition et priorisation des travaux		RAS / RAS travaux récents													
Mesures RADAR Décembre 2023 Méthode n°42		Image RADAR antenne de 2.0 GHz Voie lente													
		Image RADAR antenne de 2.0 GHz Voie rapide													

Voie lente	BORNAGE		PR 94+941											+921
	DEFLEXIONS 08/2023		59	95	1020		96	921						
		>29 1/100e mm	Capteur axe											
		20-29 1/100e mm		18										
	0-19 1/100e mm	Capteur rive												
			19	22		24		20						
	DEGRADATIONS IQRN 3D - 2022	Arrachement (m²) Ravelling niveau 1												
		Arrachement (m²) Ravelling niveau 2												
		Longueur fissures ouvertes (m)		5214										
		Surface de fissures ouvertes (m²)		394215212										
		Travaux visibles en surfaces		travaux 2020										
	Travaux de renforcement visibles au radar		purge 20 cm sur VL et VR / 2007		8 cm GB / 2007					8 cm GB sur VL et VR / 2007		m GB / 20		
	Proposition et priorisation des travaux		RAS / RAS travaux récents											
	Mesures RADAR Décembre 2023 Méthode n°42	Image RADAR antenne de 2.0 GHz Voie lente												
Image RADAR antenne de 2.0 GHz Voie rapide														

Voie lente

	BORNAGE		PR 96+921
	DEFLEXIONS 08/2023		79  458
		Capteur axe	19 15
		Capteur rive	20
	DEGRADATIONS IQRN 3D - 2022	Arrachement (m²) Ravelling niveau 1	8
		Arrachement (m²) Ravelling niveau 2	2
		Longueur fissures ouvertes (m)	
		Surface de fissures ouvertes (m²)	2 1
		Travaux visibles en surfaces	travaux 2020
	Travaux de renforcement visibles au radar		8 cm GB / 2007
	Proposition et priorisation des travaux		RAS / RAS travaux récents
	Mesures RADAR Décembre 2023 Méthode n°42	Image RADAR antenne de 2.0 GHz Voie lente	
		Image RADAR antenne de 2.0 GHz Voie rapide	